

09
Ход световых лучей в квазипериодическом волноводе или многопроходном резонаторе с плавно меняющимися свойствами

© В.Ю. Матвев

Российский федеральный ядерный центр–Всероссийский научно-исследовательский институт экспериментальной физики,
 607188 Саров, Нижегородская обл., Россия
 e-mail: Matev@expd.vniief.ru

(Поступило в Редакцию 15 февраля 2017 г.)

Построен ход лучей в квазипериодической оптической системе (волноводе или резонаторе), свойства которой плавно меняются по ходу луча. Вычислена лучевая матрица для большого числа проходов луча и показано, что обычное условие устойчивости (модуль следа лучевой матрицы одного прохода меньше двух) не обеспечивает ограниченности лучевой траектории после большого числа проходов.

DOI: 10.21883/JTF.2017.10.45000.2208

Введение

Рассмотрена квазипериодическая оптическая система (волновод или резонатор), оптические свойства которой плавно меняются (например, из-за разогрева). Волновод

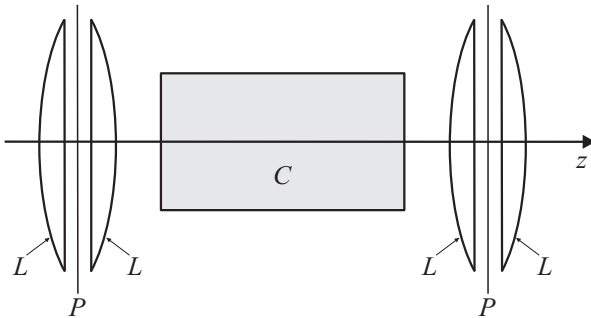


Рис. 1. Схематическое изображение периодического волновода: P — опорные плоскости, разделяющие периоды волновода, L — линзы, C — ячейка с непрерывной средой (газовая или твердотельная), z — оптическая ось.

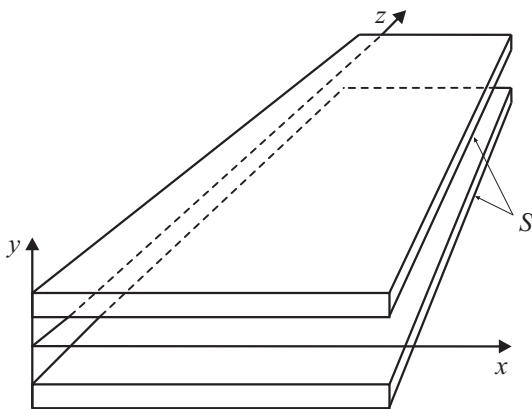


Рис. 2. Схематическое изображение прокачного лазера. S — стенки кюветы, между которыми течет газ (по направлению x), z — оптическая ось.

может содержать как элементы, дискретно изменяющие ход лучей (линзы; резонатор — еще и зеркала), так и ячейки с непрерывным показателем преломления (с неоднородной плотностью) (рис. 1). В рамках параксиальной оптики участок волновода (проход резонатора) характеризуется лучевой матрицей, равной произведению лучевых матриц отдельных элементов [1,2]. Плавное изменение свойств волновода означает, что соответствующие элементы лучевой матрицы для соседних участков различаются мало. Аналогом такого волновода является многопроходный лазерный резонатор с разогревом среды [3,4]. Другой пример — резонатор с прокачкой среды [5,6] (рис. 2), в котором поперечный профиль плотности развивается вдоль потока газа (по оси x). Луч при движении вдоль оптической оси z отклоняется против потока газа, так что лучевая матрица одного прохода луча плавно меняется.

Итак, ход лучей через участок волновода (через резонатор) задан лучевой матрицей \mathbf{m}_n , которая немного различна для соседних участков:

$$\begin{pmatrix} y_n \\ \varphi_n \end{pmatrix} = \mathbf{m}_n \begin{pmatrix} y_{n-1} \\ \varphi_{n-1} \end{pmatrix}, \quad \mathbf{m}_n = \begin{pmatrix} A_n & B_n \\ C_n & D_n \end{pmatrix}, \quad \varphi = \frac{dy}{dz}, \tag{1}$$

где y_n — поперечное смещение луча после прохождения n участков волновода (n проходов резонатора), φ_n — соответствующий угол наклона лучевой траектории к оптической оси z . Требуется найти лучевую матрицу для N участков (N проходов):

$$\begin{pmatrix} y_N \\ \varphi_N \end{pmatrix} = \prod_{k=0}^{N-1} \mathbf{m}_{N-k} \begin{pmatrix} y_0 \\ \varphi_0 \end{pmatrix} = \mathbf{M}_N \begin{pmatrix} y_0 \\ \varphi_0 \end{pmatrix}, \tag{2}$$

$$\mathbf{M}_N = \prod_{k=0}^{N-1} \mathbf{m}_{N-k},$$

где y_0 — начальное смещение луча, φ_0 — начальный угол наклона луча.

Плавное изменение оптических свойств по ходу луча означает, что

$$\begin{aligned} |\Delta A_n/A_n| \ll 1, \quad |\Delta B_n/B_n| \ll 1, \\ |\Delta C_n/C_n| \ll 1, \quad |\Delta D_n/D_n| \ll 1. \end{aligned} \quad (3)$$

Здесь и далее $\Delta X_n = X_{n+1} - X_n$ для величины X ; так, $\Delta A_n = A_{n+1} - A_n$, и т.д.

Матрица \mathbf{m}_n как произведение унимодулярных лучевых матриц отдельных элементов также унимодулярна, $\det \mathbf{m}_n = A_n D_n - B_n C_n = 1$.

Ход лучей через многопроходный резонатор

Матрицу полного прохода луча через резонатор можно симметризовать по главной диагонали, $A = D$. Действительно, зеркало радиуса r оптически эквивалентно системе из плоского зеркала и линзы с фокусным расстоянием $f = r$ [7]; совместим опорные плоскости резонатора с плоскими зеркалами (рис. 1). Если ход лучей в резонаторе развернуть вдоль оптической оси, то получится картина, аналогичная периодическому волноводу. Для произвольной $abcd$ -матрицы \mathbf{w} полупрохода резонатора от одной опорной плоскости до другой обратная матрица \mathbf{w}^{-1} , матрица обратного полупрохода \mathbf{w}_R и матрица полного прохода \mathbf{m} имеют вид [1]

$$\begin{aligned} \mathbf{w} = \begin{pmatrix} a & b \\ c & d \end{pmatrix}, \quad \mathbf{w}^{-1} = \begin{pmatrix} d & -b \\ -c & a \end{pmatrix}, \quad \mathbf{w}_R = \begin{pmatrix} d & b \\ c & a \end{pmatrix}; \\ \mathbf{m} = \mathbf{w}_R \mathbf{w} = \begin{pmatrix} da + bc & db + bd \\ ca + ac & cb + ad \end{pmatrix}. \end{aligned} \quad (4)$$

Элементы матрицы \mathbf{m} можно выразить через тригонометрические (или гиперболические) функции. Поскольку $AD - BC = 1$, $AD = A^2 = 1 + BC$. Если $BC < 0$, то $A^2 < 1$; можно положить $A = D = \cos \Omega$, $BC = \sin^2 \Omega$, задав (по модулю) „фазу“ прохода Ω . Полагая $B = \sin \Omega/\omega$, $C = -\omega \sin \Omega$, можно определить „частоту“ прохода ω и знак фазы Ω . Если $BC > 0$, то $A^2 > 1$; $A = D = \pm \operatorname{ch} \Omega$, $B = \operatorname{sh} \Omega/\omega$, $C = \omega \operatorname{sh} \Omega$. Итак, если $BC \neq 0$, то

$$\mathbf{m} = \begin{pmatrix} \cos \Omega & (1/\omega) \sin \Omega \\ -\omega \sin \Omega & \cos \Omega \end{pmatrix}, \quad BC < 0, \quad (5)$$

$$\mathbf{m} = \begin{pmatrix} \pm \operatorname{ch} \Omega & (1/\omega) \operatorname{sh} \Omega \\ \omega \operatorname{sh} \Omega & \pm \operatorname{ch} \Omega \end{pmatrix}, \quad BC > 0. \quad (6)$$

Такие матрицы описывают ход лучей через непрерывную среду с параболическим профилем показателя преломления $n^*(y)$ поперек оптической оси z [2,7]; для убывающей параболы, $\omega^2 = -(1/y)(\partial n^*/\partial y) > 0$, лучевое уравнение имеет вид $d^2y/dz^2 + \omega^2 y = 0$ [2,7], а его решение

$$y(z) = y_0 \cos(\omega z) + \frac{\varphi_0}{\omega} \sin(\omega z). \quad (7)$$

Следовательно, ход лучей через резонатор с плавным изменением свойств можно трактовать как прохождение луча через непрерывную среду с плавным изменением частоты $\omega = \omega(z)$. Лучевую траекторию в такой среде можно найти с помощью преобразований Лиувилля

$$\Omega(z) = \int_0^z \omega(z') dz',$$

$$\begin{aligned} y(\Omega) &= Y(\Omega) \exp\left(-\frac{1}{2} \int_0^\Omega \frac{1}{\omega} \frac{d\omega}{d\Omega'} d\Omega'\right) \\ &= Y(\Omega) \sqrt{\frac{\omega(0)}{\omega(z)}}. \end{aligned}$$

Подставляя эти преобразования в лучевое уравнение, легко получить

$$\frac{d^2 Y}{d\Omega^2} + W^2(\Omega) Y = 0, \quad W^2(\Omega) = 1 + w(\Omega), \quad (8)$$

$$w(\Omega) = \frac{-1}{\sqrt{\omega(\Omega)}} \frac{d^2}{d\Omega^2} (\sqrt{\omega(\Omega)}).$$

Если на периоде осцилляции z_1 , задаваемом условием $\omega z_1 = \pi$, изменение частоты $\Delta\omega_z \ll \omega$, то $(d\omega/dz)/(2\omega^2) \cong \Delta\omega_z/(2\omega^2 z_1) \ll 1$, $W(\Omega) \approx 1$, так что

$$\begin{aligned} Y(\Omega) &= Y_0 \cos \Omega + Y'_0 \sin \Omega, \\ Y'(\Omega) &= -Y_0 \sin \Omega + Y'_0 \cos \Omega, \quad (9) \\ Y'(\Omega) &= \frac{1}{\omega(z)} \frac{d}{dz} \left(y(z) \sqrt{\frac{\omega(z)}{\omega(0)}} \right) \approx \frac{\varphi(z)}{\sqrt{\omega(z)\omega(0)}}, \\ Y_0 &= y_0, \quad Y'_0 = \frac{\varphi_0}{\omega(0)}. \end{aligned}$$

Аналогично ход лучей в резонаторе с плавным изменением частоты и фазы прохода для большого числа проходов можно записать в виде (2)

$$\begin{aligned} \begin{pmatrix} y_N \\ \varphi_N \end{pmatrix} &= \mathbf{M}_N \begin{pmatrix} y_0 \\ \varphi_0 \end{pmatrix}, \\ \mathbf{M}_N &= \begin{pmatrix} \sqrt{\frac{\omega_1}{\omega_N}} \cos \Phi_N & \frac{1}{\sqrt{\omega_N \omega_1}} \sin \Phi_N \\ -\sqrt{\omega_N \omega_1} \sin \Phi_N & \sqrt{\frac{\omega_N}{\omega_1}} \cos \Phi_N \end{pmatrix}, \quad (10) \\ \Phi_N &= \sum_{k=1}^N \Omega_k, \end{aligned}$$

где ω_k и Ω_k — частота и фаза k -прохода, фаза суммируется по проходам.

Действие матрицы (5) на вектор (y_n, φ_n) эквивалентно повороту вектора $(y_n, \varphi_n/\omega)$ на угол Ω без изменения длины. Действительно,

$$y_n = \cos \Omega y_{n-1} + \sin \Omega \frac{\varphi_{n-1}}{\omega},$$

$$\frac{\varphi_n}{\omega} = -\sin \Omega y_{n-1} + \cos \Omega \frac{\varphi_{n-1}}{\omega}.$$

Действие же матрицы (10) эквивалентно повороту вектора (Y, Y') на угол Φ_N , при этом инвариантна величина

$$\left(\sqrt{\omega(z)}y(z)\right)^2 + \left(\varphi(z)/\sqrt{\omega(z)}\right)^2 = \text{const.} \quad (11)$$

Для возрастающей параболы показателя преломления $n^*(y)$, когда $\omega^2 = (1/y)(\partial n^*/\partial y) > 0$, матрица \mathbf{M}_N аналогична (10); нужно лишь заменить $\cos \Phi_n \rightarrow \text{ch } \Phi_n$, $\sin \Phi_n \rightarrow \text{sh } \Phi_n$ и поменять знак в матричном элементе $(\mathbf{M}_N)_{21}$, ср. (5), (6); инвариант такой матрицы аналогичен (11), только будет разность квадратов вместо суммы. Матрица вида (10) и аналогичная ей гиперболическая матрица имеют групповой характер: произведение двух соседних матриц имеет тот же вид, что и исходная матрица:

$$\begin{aligned} &\mathbf{M}(\omega_{n+1}, \omega_n, \Phi_n)\mathbf{M}(\omega_n, \omega_{n-1}, \Phi_{n-1}) \\ &= \mathbf{M}(\omega_{n+1}, \omega_{n-1}, \Phi_n + \Phi_{n-1}), \end{aligned}$$

это и позволяет легко перемножать матрицы для большого числа проходов.

Решение (10) получено эвристическим путем; оно наводит на мысль, что один проход через резонатор следует описывать матрицей вида (10), а не (5) и характеризовать тремя параметрами: фазой Ω и двумя частотами (входной частотой, характеризующей резонатор перед прохождением луча, и выходной, характеризующей резонатор после прохождением луча). Действительно, частота прохода ω плавно меняется, и выходная частота прохода равна входной частоте следующего прохода. В исходной постановке задачи частота прохода менялась скачком; это менее физично, а матрицы (5) не обладают групповым характером, если частоты проходов различны. Можно, однако, полагать, что частота прохода — это выходящая частота, матрица (10) применима для нескольких проходов, а один проход луча описывается матрицей (5); это несоответствие при малых скачках частоты несущественно. Далее более строго рассмотрен общий случай.

Разностные уравнения хода луча и их решение

В общем случае квазипериодического волновода, когда $A_n \neq D_n$, матрица одного прохода не может быть записана в виде (5) или (6). Используем метод конечных разностей [7]. Для двух соседних участков, согласно (1),

$$\begin{cases} y_{n+1} = A_{n+1}y_n + B_{n+1}\varphi_n, \\ \varphi_{n+1} = C_{n+1}y_n + D_{n+1}\varphi_n, \end{cases} \quad \begin{cases} y_n = A_n y_{n-1} + B_n \varphi_{n-1}, \\ \varphi_n = C_n y_{n-1} + D_n \varphi_{n-1}. \end{cases} \quad (12)$$

Отсюда с учетом унимодулярности лучевой матрицы \mathbf{m}_n

$$y_{n+1} - \sigma_{n+1}y_n + \gamma_{n+1}y_{n-1} = 0, \quad (13)$$

$$\sigma_{n+1} = A_{n+1} + D_n(B_{n+1}/B_n), \quad \gamma_{n+1} = B_{n+1}/B_n, \quad B_n \neq 0; \quad (14)$$

$$\varphi_{n+1} - \xi_{n+1}\varphi_n + \eta_{n+1}\varphi_{n-1} = 0, \quad (15)$$

$$\begin{aligned} \xi_{n+1} &= D_{n+1} + A_n(C_{n+1}/C_n), \\ \eta_{n+1} &= C_{n+1}/C_n, \quad C_n \neq 0. \end{aligned} \quad (16)$$

Для периодического волновода $\sigma_n = \xi_n = S = A + D$, $\gamma_n = \eta_n = 1$. Тогда

$$y_{n+1} - S y_n + y_{n-1} = 0, \quad \varphi_{n+1} - S \varphi_n + \varphi_{n-1} = 0. \quad (17)$$

Такие же уравнения были бы для резонатора (когда $A = D$), поэтому решение для волновода можно искать в том же виде [7]

$$y_n = \exp(\pm \Theta_n), \quad \varphi_n = \exp(\pm \Theta_n), \quad \Theta_n = n\theta, \quad (18)$$

где θ — комплексная фаза одного участка. Подставляя (18) в (17), можно определить фазу θ (с точностью до знака) характеристическим уравнением

$$\exp \theta + \exp(-\theta) = 2 \text{ch } \theta = S. \quad (19)$$

Тогда общее решение уравнений (17) имеет вид

$$\begin{aligned} y_n &= C_{y1} \text{ch } \Theta_n + C_{y2} \text{sh } \Theta_n, \\ \varphi_n &= C_{\varphi1} \text{sh } \Theta_n + C_{\varphi2} \text{ch } \Theta_n, \end{aligned} \quad (20)$$

ср. (7). Из начальных условий, $C_{y1} = y_0$ и $C_{\varphi2} = \varphi_0$, а константы C_{y2} и $C_{\varphi1}$ определяются подстановкой в (20) уравнений (12) для первого прохода

$$y_1 = y_0 \text{ch } \theta + C_{y2} \text{sh } \theta = A y_0 + B \varphi_0, \quad (21)$$

$$\varphi_1 = C_{\varphi1} \text{sh } \theta + \varphi_0 \text{ch } \theta = C y_0 + D \varphi_0. \quad (22)$$

В итоге матрица \mathbf{M}_N прохода N участков принимает вид

$$\mathbf{M}_N = \begin{pmatrix} \text{ch } \Theta_N + \frac{A - \text{ch } \theta}{\text{sh } \theta} \text{sh } \Theta_N & B \frac{\text{sh } \Theta_N}{\text{sh } \theta} \\ C \frac{\text{sh } \Theta_N}{\text{sh } \theta} & \text{ch } \Theta_N + \frac{D - \text{ch } \theta}{\text{sh } \theta} \text{sh } \Theta_N \end{pmatrix}, \quad (23)$$

$$\Theta_N = N\theta.$$

Для ограниченной („устойчивой“) лучевой траектории $|S| \leq 2$; $\theta = i\Omega$, $\text{ch}(i\Omega) = \cos \Omega$, $\text{sh}(i\Omega) = i \sin \Omega$, где Ω — действительная фаза прохода, определяемая из (19): $2 \cos \Omega = S$; при этом матрица \mathbf{M}_N приобретает известный вид [1,2]. Для неограниченной („неустойчивой“) лучевой траектории либо $S \geq 2$, и тогда $\theta = \Omega$, причем $2 \text{ch } \Omega = S$; либо $S \leq -2$, и тогда $\theta = \Omega + i\pi$, $\text{ch } \theta = -\text{ch } \Omega$, $\text{sh } \theta = -\text{sh } \Omega$, причем $2 \text{ch } \Omega = -S$.

В общем случае квазипериодического волновода удобно положить

$$y_n = \sqrt{B_n} u_n, \quad \varphi_n = \sqrt{C_n} f_n. \quad (24)$$

Тогда уравнения (13)–(16) переписутся так:

$$u_{n+1} - Z_{n+1}u_n + \Gamma_{n+1}u_{n-1} = 0, \quad (25)$$

$$f_{n+1} - \Sigma_{n+1}f_n + H_{n+1}f_{n-1} = 0, \quad (26)$$

$$Z_{n+1} = \sigma_{n+1}\sqrt{\frac{B_n}{B_{n+1}}} = A_{n+1}\sqrt{\frac{B_n}{B_{n+1}}} + D_n\sqrt{\frac{B_{n+1}}{B_n}}, \quad (27)$$

$$\Sigma_{n+1} = \xi_{n+1}\sqrt{\frac{C_n}{C_{n+1}}} = D_{n+1}\sqrt{\frac{C_n}{C_{n+1}}} + A_n\sqrt{\frac{C_{n+1}}{C_n}}, \quad (28)$$

$$\Gamma_{n+1} = \frac{\sqrt{B_{n+1}B_{n-1}}}{B_n}, \quad H_{n+1} = \frac{\sqrt{C_{n+1}C_{n-1}}}{C_n}.$$

Согласно условиям (3) плавного изменения B_n и C_n ,

$$\begin{aligned} \Gamma_{n+1} &\approx \frac{\sqrt{(B_n + \Delta B_n)(B_n - \Delta B_{n-1})}}{B_n} \\ &\approx 1 - \frac{1}{2} \left(\frac{\Delta B_n}{B_n} \right)^2 \approx 1, \end{aligned}$$

с точностью до членов первого порядка малости. Аналогично, $H_{n+1} \approx 1$. Тогда уравнения (25), (26) принимают вид, аналогичный (17):

$$u_{n+1} - Z_{n+1}u_n + u_{n-1} = 0, \quad (29)$$

$$f_{n+1} - \Sigma_{n+1}f_n + f_{n-1} = 0. \quad (30)$$

Необходимо доопределить величины u_0 и f_0 , положив

$$\begin{aligned} B_0 &= B_1^2/B_2 \approx B_1 - \Delta B_1, \\ C_0 &= C_1^2/C_2 \approx C_1 - \Delta C_1, \end{aligned} \quad (31)$$

где $\Delta B_1 = B_2 - B_1$, $\Delta C_1 = C_2 - C_1$; это следует из уравнений (13), (15) для $n = 1$ и согласуется с условиями $\Gamma_1 \approx 1$, $H_1 \approx 1$. Отсюда следуют начальные условия для уравнений (29), (30); согласно (24),

$$u_0 = y_0/\sqrt{B_0}, \quad f_0 = \varphi_0/\sqrt{C_0}. \quad (32)$$

С учетом решений (9) для резонатора и (18) для волновода решение уравнения (29) для квазипериодического волновода можно искать в виде

$$u_N = G_N \prod_{k=1}^N \lambda_k, \quad \lambda_n = \exp(\pm \theta_n), \quad (33)$$

где θ_n — комплексная фаза участка n , а G_n — амплитуда, компенсирующая изменение фазы от участка к участку. Подставляя (33) в (29), получаем

$$G_{n+1}\lambda_{n+1}\lambda_n - Z_{n+1}G_n\lambda_n + G_{n-1} = 0. \quad (34)$$

Характеристическое уравнение, задающее фазу θ_n (с точностью до знака), можно взять в виде (19): $2 \operatorname{ch} \theta_n = Z_n$. Однако величина Z_n задается параметрами соседних проходов согласно (27). Удобно выразить Z_{n+1}

через параметры одного прохода. В первом порядке малости

$$\begin{aligned} Z_{n+1} &= (A_n + \Delta A_n)\sqrt{\frac{B_n}{B_n + \Delta B_n}} + D_n\sqrt{\frac{B_n + \Delta B_n}{B_n}} \\ &\approx S_n + \Delta A_n - (A_n - D_n)\frac{\Delta B_n}{2B_n} \\ &= S_n + \frac{\Delta S_n}{2} + \frac{A_n - D_n}{2} - (A_n - D_n)\frac{\Delta B_n}{2B_n} \\ &= S_n + \frac{\Delta S_n}{2} + \frac{B_n}{2} \Delta \left(\frac{R_n}{B_n} \right), \end{aligned}$$

где $S_n = A_n + D_n$, $R_n = A_n - D_n$. Зададим характеристическое уравнение

$$\begin{aligned} \lambda_n + 1/\lambda_n &= \exp \theta_n + \exp(-\theta_n) = 2 \operatorname{ch} \theta_n \\ &= S_n + \frac{B_n}{2} \Delta \left(\frac{R_n}{B_n} \right), \end{aligned} \quad (35)$$

о переходе от комплексной фазы θ_n к действительной фазе Ω_n см. выше, после (23). Тогда в первом приближении

$$Z_{n+1} = 2 \operatorname{ch} \theta_n + \frac{\Delta S_n}{2}, \quad (36)$$

$$\Delta S_n \approx \Delta \left(\lambda_n + \frac{1}{\lambda_n} \right) \approx \frac{\lambda_n^2 - 1}{\lambda_n^2} \Delta \lambda_n.$$

Аналогично для уравнения (30) с учетом (28), вводя другую фазу ψ_n :

$$\Sigma_{n+1} = 2 \operatorname{ch} \psi_n + \frac{\Delta S_n}{2},$$

$$2 \operatorname{ch} \psi_n = S_n - \frac{C_n}{2} \Delta \left(\frac{R_n}{C_n} \right). \quad (37)$$

Подставляя Z_{n+1} из уравнений (35), (36) в уравнение (34), получаем

$$G_{n+1}\lambda_{n+1}\lambda_n - G_n \left(\lambda_n^2 + 1 + \frac{\lambda_n^2 - 1}{2\lambda_n} \Delta \lambda_n \right) + G_{n-1} = 0. \quad (38)$$

Для малых величин $\Delta \lambda_n = \lambda_{n+1} - \lambda_n$ и $\Delta G_n = G_{n+1} - G_n \approx \Delta G_{n-1} = G_n - G_{n-1}$; разностное уравнение (38) в первом порядке малости можно преобразовать в дифференциальное уравнение и проинтегрировать:

$$\begin{aligned} (G + \Delta G)(\lambda + \Delta \lambda)\lambda - G\lambda^2 - G \frac{\lambda^2 - 1}{2\lambda} \Delta \lambda - \Delta G \\ \approx (\lambda^2 - 1)\Delta G + G\lambda\Delta \lambda - G \frac{\lambda^2 - 1}{2\lambda} \Delta \lambda = 0; \end{aligned}$$

$$\frac{dG}{G(\lambda)} + \frac{\lambda d\lambda}{\lambda^2 - 1} - \frac{d\lambda}{2\lambda} = 0;$$

$$G(\lambda)\sqrt{\frac{\lambda^2 - 1}{\lambda}} = G(\lambda)\sqrt{\lambda - \frac{1}{\lambda}} = G(\lambda)\sqrt{2 \operatorname{sh} \theta} = \text{const};$$

$$G_n^\pm = G_0^\pm \sqrt{\text{sh } \theta_0 / \text{sh } \theta_n}, \quad (39)$$

знаки \pm соответствуют разным знакам θ_n . Здесь введена фаза $\theta_0 \approx \theta_1 - \Delta\theta_1 = \theta_1 - (\theta_2 - \theta_1)$; это следует из условия $G_{n+1} - G_n \approx G_n - G_{n-1}$ и общего правила, см. (31). Нулевые значения параметров волновода характеризуют его состояние до прохода излучения. Итак, общее решение уравнения (13), согласно (24) и (33), записывается в виде

$$y_N = \sqrt{B_N}(G_N^+ \exp \Theta_N + G_N^- \exp(-\Theta_N));$$

$$\Theta_N = \sum_{k=1}^N \theta_k.$$

Подставляя (39) и вводя $G_0^+ = (G_C + G_S)/2$, $G_0^- = (G_C - G_S)/2$ получаем

$$y_N = \sqrt{B_N} \frac{\text{sh } \theta_0}{\text{sh } \theta_N} (G_C \text{ch } \Theta_N + G_S \text{sh } \Theta_N), \quad (40)$$

ср. (20). Если исходить из характеристического уравнения $2 \text{ch } \theta_n = Z_n$ вместо (35), то в амплитуде G_N и фазе Θ_N возникнут дополнительные добавки, которые в первом приближении взаимно сократятся, так что в итоге будет тот же результат (40).

Аналогичным образом из (30) можно получить решение уравнения (15)

$$\varphi_N = \sqrt{C_N} \frac{\text{sh } \psi_0}{\text{sh } \psi_N} (G_{C\varphi} \text{ch } \Psi_N + G_{S\varphi} \text{sh } \Psi_N),$$

$$\Psi_N = \sum_{k=1}^N \psi_k, \quad (41)$$

ср. (20); угол ψ_n определяется согласно (37). Из начальных условий

$$G_C = y_0 / \sqrt{B_0}, \quad G_{C\varphi} = \varphi_0 / \sqrt{C_0},$$

G_S и $G_{S\varphi}$ можно определить, подставив в соотношения (40), (41) уравнения (12) для первого прохода: $y_1 = A_1 y_0 + B_1 \varphi_0$, $\varphi_1 = C_1 y_0 + D_1 \varphi_0$. Тогда

$$y_N = \sqrt{\frac{B_N \text{sh } \theta_0}{B_0 \text{sh } \theta_N}} \left\{ y_0 \text{ch } \Theta_N + \left[\sqrt{\frac{B_0 \text{sh } \theta_1}{B_1 \text{sh } \theta_0}} (A_1 y_0 + B_1 \varphi_0) - y_0 \text{ch } \theta_1 \right] \frac{\text{sh } \Theta_N}{\text{sh } \theta_1} \right\}, \quad (42)$$

$$\varphi_N = \sqrt{\frac{C_N \text{sh } \psi_0}{C_0 \text{sh } \psi_N}} \left\{ \varphi_0 \text{ch } \Psi_N + \left[\sqrt{\frac{C_0 \text{sh } \psi_1}{C_1 \text{sh } \psi_0}} (C_1 y_0 + D_1 \varphi_0) - \varphi_0 \text{ch } \psi_1 \right] \frac{\text{sh } \Psi_N}{\text{sh } \psi_1} \right\}. \quad (43)$$

Фазы θ_n и ψ_n определены согласно (35), (37) с точностью до знака; это не влияет на результат, поскольку гиперболические синусы входят в (42), (43) в виде отношения. Для периодического волновода, когда $\theta_n = \psi_n = \theta$, $B_n = B$, $C_n = C$, формулы (42), (43) сводятся к лучевой матрице (23). Главное отличие от случая периодического волновода (23) — наличие амплитудных факторов. Рассмотрим сначала особые случаи для уравнений (13), (29).

Особые случаи

Решение (39) неприменимо, когда $\lambda_n \rightarrow 1$, $\theta_n \rightarrow 0$. В этом случае происходит вырождение лучевой траектории. Согласно (27), (36), условие вырождения: $Z_n = 2$, $\sigma_n = 2\gamma_n^{1/2} \approx 2 + \Delta B_n/B_n$. Характеристическое уравнение (35) при этом имеет один кратный корень: $\lambda_n \approx 1$, $\theta_n \approx 0$. Здесь пролегает граница между „устойчивыми“ и „неустойчивыми“ лучевыми траекториями. Вблизи этой границы в уравнении (34) главную роль играют факторы второго порядка малости, которыми пренебрегалось при выводе (39) из (38). Именно, при $\lambda_n = 1$, согласно (34), с учетом (24), (33)

$$G_{n+1} - G_n = G_n - G_{n-1}, \quad u_n = G_n = \frac{y_n}{\sqrt{B_n}}, \quad (44)$$

$$\frac{y_{n+1}}{\sqrt{B_{n+1}}} - \frac{y_n}{\sqrt{B_n}} = \frac{y_n}{\sqrt{B_n}} - \frac{y_{n-1}}{\sqrt{B_{n-1}}} = \dots$$

$$= \frac{y_1}{\sqrt{B_1}} - \frac{y_0}{\sqrt{B_0}}, \quad B_0 = \frac{B_1^2}{B_2}.$$

Производя суммирование этих равенств и подставляя y_1 , получаем

$$\frac{y_N}{\sqrt{B_N}} = \left(\frac{y_1}{\sqrt{B_1}} - \frac{y_0}{\sqrt{B_0}} \right) N + \frac{y_0}{\sqrt{B_0}},$$

$$y_1 = A_1 y_0 + B_1 \varphi_0. \quad (45)$$

Это решение получено из уравнения (29) в приближении $\Gamma_n = 1$. Более точное условие вырождения лучевой траектории можно получить из (13)

$$\sigma_{n+1} = \sqrt{\frac{B_{n+1}}{B_n}} \left(1 + \frac{\sqrt{B_{n+1} B_{n-1}}}{B_n} \right), \quad n \geq 2,$$

само уравнение (13) при этом можно итеративно преобразовать к виду

$$\frac{y_{n+1}}{\sqrt{B_{n+1}}} - \frac{y_n}{\sqrt{B_n}} = \frac{\sqrt{B_{n+1} B_{n-1}}}{B_n} \left(\frac{y_n}{\sqrt{B_n}} - \frac{y_{n-1}}{\sqrt{B_{n-1}}} \right)$$

$$= \sqrt{\frac{B_{n+1}}{B_n}} \sqrt{\frac{B_1}{B_2}} \left(\frac{y_2}{\sqrt{B_2}} - \frac{y_1}{\sqrt{B_1}} \right).$$

Итерируя аналогичным образом разностное уравнение для меньших индексов и производя суммирование,

легко получить точное решение

$$\frac{y_N}{\sqrt{B_N}} = \left(\frac{y_2}{\sqrt{B_2}} - \frac{y_1}{\sqrt{B_1}} \right) \sqrt{\frac{B_1}{B_2}} + \sum_{k=3}^N \sqrt{\frac{B_k}{B_{k-1}}} + \frac{y_2}{\sqrt{B_2}}, \quad N \geq 3. \quad (46)$$

Здесь y_2 рассчитывается, согласно (13), по заданному σ_2 ; $y_1 = A_1 y_0 + B_1 \varphi_0$.

Еще один особый случай: $\sigma_n = 1 + \gamma_n = 2 + \Delta B_n / B_n$, при этом, согласно (27), $Z_n \approx 2$ в первом порядке малости по $\Delta B_n / B_n$. Уравнение (13) в этом случае также легко решается

$$\begin{aligned} y_{n+1} - y_n &= \gamma_{n+1}(y_n - y_{n-1}) \\ &= (y_1 - y_0) \prod_{k=1}^n \gamma_{k+1} = (y_1 - y_0)(B_{n+1}/B_1). \end{aligned}$$

Расписывая разность $y_n - y_{n-1}$ и т.д., после суммирования получаем

$$y_N = y_0 + (y_1 - y_0) \frac{1}{B_1} \sum_{k=1}^N B_k, \quad y_1 = A_1 y_0 + B_1 \varphi_0. \quad (47)$$

Примером такого случая является волновод, состоящий из участков с однородной средой длиной l_k и показателем преломления n_k^* . Для такого волновода матрицы проходов \mathbf{m}_k имеют простой вид и легко перемножаются, приводя к тому же результату, что и (47):

$$\mathbf{m}_k = \begin{pmatrix} 1 & B_k \\ 0 & 1 \end{pmatrix}, \quad \mathbf{M}_N = \begin{pmatrix} 1 & P_N \\ 0 & 1 \end{pmatrix},$$

$$P_N = \sum_{k=1}^N B_k, \quad B_k = \frac{l_k}{n_k^*}.$$

Особые случаи легче понять, записав разностное уравнение (13) в виде

$$\Delta^2 y_n = (\sigma_{n+1} - 1 - \gamma_{n+1})y_n + (\gamma_{n+1} - 1)(y_n - y_{n-1}),$$

$$\Delta^2 y_n \equiv (y_{n+1} - y_n) - (y_n - y_{n-1})$$

и сопоставив ему дифференциальное уравнение

$$\frac{d^2 y}{dz^2} = \frac{\sigma - 1 - \gamma}{(\Delta z)^2} y + \frac{\gamma - 1}{\Delta z} \frac{dy}{dz}, \quad \gamma - 1 = \frac{\Delta z}{B} \frac{dB}{dz}, \quad (48)$$

где Δz — длина участка волновода. Если $\sigma = 1 + \gamma$, то это уравнение решается точно последовательным интегрированием

$$\frac{1}{B(z)} \frac{dy}{dz} = \frac{1}{B_1} \frac{dy}{dz} \Big|_0,$$

$$\begin{aligned} y &= y_0 + \frac{dy}{dz} \Big|_0 \frac{1}{B_1} \int_0^z B(z') dz' \\ &= y_0 + \frac{\varphi_0}{B_1} \int_0^z B(z') dz', \end{aligned} \quad (49)$$

где $B_1 = B(0)$; этот случай соответствует решению (47).

Если $\gamma \neq 1$, то в уравнении (48) следует перейти к новой переменной $u(z)$:

$$y(z) = \exp\left(\frac{P(z)}{2}\right) u(z) = u(z) \sqrt{B(z)},$$

$$P(z) = \int \frac{\gamma - 1}{\Delta z} dz = \ln B(z);$$

$$\frac{d^2 u}{dz^2} = \left[\frac{\sigma - 1 - \gamma}{(\Delta z)^2} + \frac{3}{4} \left(\frac{1}{B} \frac{dB}{dz} \right)^2 - \frac{1}{2B} \frac{d^2 B}{dz^2} \right] u; \quad (50)$$

это соответствует переходу от (13) к (25), (29); функция $u(z)$ соответствует амплитуде u_n . В правой части (50) второе и третье слагаемые в скобках можно опустить как величины второго порядка малости; тогда

$$\frac{d^2 u}{dz^2} \approx \frac{\sigma - 1 - \gamma}{(\Delta z)^2} u. \quad (51)$$

Если $\sigma_n = 2\gamma_n^{1/2}$, то $(\sigma - \gamma - 1) = -(\gamma_n^{1/2} - 1)^2 \approx -(\Delta z/B)^2 (dB/dz)^2/4$; правая часть (51) в первом порядке малости обращается в нуль, и тогда

$$\frac{du}{dz} = \frac{d}{dz} \left(\frac{y(z)}{\sqrt{B(z)}} \right) = \text{const},$$

$$\frac{y(z)}{\sqrt{B(z)}} = \frac{y_0}{\sqrt{B_1}} + \text{const } z, \quad (52)$$

константа определяется по углу φ_0 ; этот случай соответствует решению (45). При $\sigma = 1 + \gamma$ приближенное решение (52) соответствует точному решению (49) в первом порядке малости, в чем нетрудно убедиться, положив $B(z) = B_1 + z dB/dz$.

В окрестности $\lambda_n = 1$, когда $\sigma_n = 2\gamma_n^{1/2} + \varepsilon$, $\varepsilon \ll 1$, (51) принимает вид

$$\frac{d^2 u}{dz^2} \approx \frac{\varepsilon(z)}{(\Delta z)^2} u.$$

Если $\varepsilon(z) = \alpha z (\Delta z)^2$, где α — константа, то общее решение уравнения $u(z)$ будет линейной комбинацией функций Эйри $\text{Ai}(\alpha^{1/3} z)$ и $\text{Bi}(\alpha^{1/3} z)$.

Ранее предполагалось, что $B_n \neq 0$. Если $B_n = 0$, то уже уравнение (13) не является корректным. В этом специфическом случае из (12) сразу имеем

$$y_N = y_0 \prod_{k=1}^N A_k.$$

Аналогично могут быть рассмотрены особые случаи уравнений (15), (30). Далее предполагается, что $\theta_n \neq 0$, $B_n C_n \neq 0$.

Унификация основного решения

Для того чтобы привести выражения (42) и (43) к матричному виду и завершить решение задачи, следует унифицировать фазы прохода θ_n и ψ_n , определенные соотношениями (35) и (37). Преобразуем эти соотношения

$$\begin{aligned} \frac{B_n}{2} \Delta \left(\frac{R_n}{B_n} \right) &= \frac{\sqrt{B_n C_n}}{2} \sqrt{\frac{B_n}{C_n}} \Delta \left(\frac{R_n}{\sqrt{B_n C_n}} \sqrt{\frac{C_n}{B_n}} \right) \\ &= 2\Delta T_n + R_n \frac{\Delta \omega_n}{2\omega_n}, \\ \frac{C_n}{2} \Delta \left(\frac{R_n}{C_n} \right) &= \frac{\sqrt{B_n C_n}}{2} \sqrt{\frac{C_n}{B_n}} \Delta \left(\frac{R_n}{\sqrt{B_n C_n}} \sqrt{\frac{B_n}{C_n}} \right) \\ &= 2\Delta T_n - R_n \frac{\Delta \omega_n}{2\omega_n}; \\ \Delta T_n &= \frac{\sqrt{|B_n C_n|}}{4} \Delta \left(\frac{R_n}{\sqrt{|B_n C_n|}} \right), \quad \omega_n = \sqrt{\left| \frac{C_n}{B_n} \right|}. \end{aligned} \quad (53)$$

Здесь введена „частота прохода“ ω_n . Тогда уравнения (35) и (37) для фаз прохода θ_n и ψ_n можно представить в виде

$$\begin{aligned} 2 \operatorname{ch} \theta_n &= S_n + R_n \frac{\Delta \omega_n}{2\omega_n} + 2\Delta T_n, \\ 2 \operatorname{ch} \psi_n &= S_n + R_n \frac{\Delta \omega_n}{2\omega_n} - 2\Delta T_n. \end{aligned}$$

Введем единую комплексную фазу прохода ϑ_n :

$$\begin{aligned} 2 \operatorname{ch} \vartheta_n &= S_n + R_n \frac{\Delta \omega_n}{2\omega_n} \\ &= A_n \left(1 + \frac{\Delta \omega_n}{2\omega_n} \right) + D_n \left(1 - \frac{\Delta \omega_n}{2\omega_n} \right) \\ &\approx A_n \sqrt{\frac{\omega_n}{\omega_{n-1}}} + D_n \sqrt{\frac{\omega_{n-1}}{\omega_n}}; \end{aligned} \quad (54)$$

о переходе от комплексной фазы к действительной см. после (23). Тогда

$$\operatorname{ch} \theta_n = \operatorname{ch} \vartheta_n + \Delta T_n, \quad \operatorname{ch} \psi_n = \operatorname{ch} \vartheta_n - \Delta T_n.$$

Преобразуем поправку ΔT_n в малую добавку к фазе прохода $\delta\vartheta_n$:

$$\theta_n \approx \vartheta_n + \delta\vartheta_n, \quad \psi_n \approx \vartheta_n - \delta\vartheta_n, \quad (55)$$

$$\begin{aligned} \operatorname{ch}(\vartheta_n \pm \delta\vartheta_n) &\approx \operatorname{ch} \vartheta_n \pm \operatorname{sh} \vartheta_n \delta\vartheta_n, \\ \delta\vartheta_n &= \Delta T_n / \operatorname{sh} \vartheta_n. \end{aligned} \quad (56)$$

При расчете добавки $\delta\vartheta_n$ можно взять ϑ_n в пренебрежении поправками:

$$\begin{aligned} \operatorname{sh} \vartheta_n &= \pm \sqrt{\operatorname{ch} \vartheta_n^2 - 1} \approx \pm \sqrt{\frac{(A_n + D_n)^2}{4} - 1} \\ &= \frac{B_n}{|B_n|} \sqrt{\frac{(A_n - D_n)^2}{4} + B_n C_n}, \end{aligned} \quad (57)$$

знак ϑ_n здесь установлен для соответствия случаю (5), (6), когда $A = D$. Подставляя (56) и (57) в (53), получаем

$$\begin{aligned} \delta\vartheta_n &= \frac{b\Delta L_n}{2\sqrt{L_n^2 + bc}}, \quad L_n = \frac{A_n - D_n}{2\sqrt{|B_n C_n|}}, \\ b &= \frac{B_n}{|B_n|}, \quad c = \frac{C_n}{|C_n|}. \end{aligned} \quad (58)$$

Малое изменение матричных элементов по ходу луча подразумевает, что $b = \operatorname{const}$, $c = \operatorname{const}$. Введем угол β_n , определенный соотношениями

$$L_n = \begin{cases} b \operatorname{sh} \beta_n, & bc = +1, \\ b \sin \beta_n, & bc = -1, |L_n| < 1, \\ \xi \operatorname{ch} \beta_n, & bc = -1, |L_n| > 1. \end{cases} \quad \begin{cases} \operatorname{sgn} \beta_n = b\xi, \\ \xi = \frac{R_n}{|R_n|} = \operatorname{const}, \end{cases} \quad (59)$$

Если $bc = 1$, или $bc = -1$ и $|L_n| > 1$, то $\delta\vartheta_n = \Delta\beta_n/2$; в этих случаях фаза прохода ϑ_n действительна (либо $\vartheta_n = \Omega_n + i\pi$) согласно (57). Если $bc = -1$ и $|L_n| < 1$, то $\delta\vartheta_n = -i\Delta\beta_n/2$, в этом случае фаза прохода мнимая, $\vartheta_n = i\Omega_n$.

Если в (42), (43) пренебречь в амплитудах малым различием между B_0 и B_1 , C_0 и C_1 (эти различия не накапливаются по мере роста числа проходов), а также положить $\theta_0 \approx \theta_1 \approx \vartheta_1$, $\psi_0 \approx \psi_1 \approx \vartheta_1$, $\theta_N \approx \psi_N \approx \vartheta_N$, $2 \operatorname{ch} \vartheta_1 \approx A_1 + D_1$, то соотношения (42), (43) можно упростить; с учетом (55)

$$y_N = \sqrt{\frac{B_N \operatorname{sh} \vartheta_1}{B_1 \operatorname{sh} \vartheta_N}} \left\{ y_0 \operatorname{ch} \Theta_N + \left[\frac{A_1 - D_1}{2} y_0 + B_1 \varphi_0 \right] \frac{\operatorname{sh} \Theta_N}{\operatorname{sh} \vartheta_1} \right\}, \quad (60)$$

$$\varphi_N = \sqrt{\frac{C_N \operatorname{sh} \vartheta_1}{C_1 \operatorname{sh} \vartheta_N}} \left\{ \varphi_0 \operatorname{ch} \Psi_N + \left[\frac{D_1 - A_1}{2} \varphi_0 + C_1 y_0 \right] \frac{\operatorname{sh} \Psi_N}{\operatorname{sh} \vartheta_1} \right\}, \quad (61)$$

$$\Theta_N = \Xi_N + \delta\Xi_N, \quad \Psi_N = \Xi_N - \delta\Xi_N,$$

$$\Xi_N = \sum_{k=1}^N \vartheta_k, \quad \delta\Xi_N = \sum_{k=1}^N \delta\vartheta_k.$$

Эти соотношения можно унифицировать, вводя приведенные переменные

$$\begin{aligned} \tilde{y}_N &= \tilde{y}_0 \operatorname{ch}(\Xi_N + \delta\Xi_N) + \left[\frac{R_1}{2} \tilde{y}_0 + b\sqrt{|B_1 C_1|} \tilde{\varphi}_0 \right] \\ &\quad \times \frac{\operatorname{sh}(\Xi_N + \delta\Xi_N)}{\operatorname{sh} \vartheta_1}, \end{aligned} \quad (62)$$

$$\begin{aligned} \tilde{\varphi}_N &= \tilde{\varphi}_0 \operatorname{ch}(\Xi_N - \delta\Xi_N) - \left[\frac{R_1}{2} \tilde{\varphi}_0 - c\sqrt{|B_1 C_1|} \tilde{y}_0 \right] \\ &\quad \times \frac{\operatorname{sh}(\Xi_N - \delta\Xi_N)}{\operatorname{sh} \vartheta_1}, \end{aligned} \quad (63)$$

$$\tilde{y}_n = y_n \sqrt{|\operatorname{sh} \vartheta_n / B_n|}, \quad \tilde{\varphi}_n = \varphi_n \sqrt{|\operatorname{sh} \vartheta_n / C_n|}.$$

Целесообразно рассмотреть упомянутые три случая отдельно.

1. $B_n C_n > 0$: $L_n = b \operatorname{sh} \beta_n$, $\delta \vartheta_n = \Delta \beta_n / 2$, $\delta \Xi_N = (\beta_N - \beta_1) / 2$. С учетом (57)–(59) соотношения (62), (63) принимают вид

$$\tilde{y}_N = \tilde{y}_0 \operatorname{ch} \left(\Xi_N + \frac{\beta_N - \beta_1}{2} \right) + \left(\frac{\operatorname{sh} \beta_1 \tilde{y}_0 + \tilde{\varphi}_0}{\operatorname{ch} \beta_1} \right) \times \operatorname{sh} \left(\Xi_N + \frac{\beta_N - \beta_1}{2} \right), \quad (64)$$

$$\tilde{\varphi}_N = \tilde{\varphi}_0 \operatorname{ch} \left(\Xi_N - \frac{\beta_N - \beta_1}{2} \right) - \left(\frac{\operatorname{sh} \beta_1 \tilde{\varphi}_0 - \tilde{y}_0}{\operatorname{ch} \beta_1} \right) \times \operatorname{sh} \left(\Xi_N - \frac{\beta_N - \beta_1}{2} \right). \quad (65)$$

Эту систему целесообразно преобразовать к виду

$$\begin{aligned} \tilde{y}_N \operatorname{ch} \beta_1 &= \operatorname{ch} \Xi_N (\tilde{y}_0 \operatorname{ch} \beta_S + \tilde{\varphi}_0 \operatorname{sh} \beta_R) \\ &+ \operatorname{sh} \Xi_N (\tilde{y}_0 \operatorname{sh} \beta_S + \tilde{\varphi}_0 \operatorname{ch} \beta_R), \\ \tilde{\varphi}_N \operatorname{ch} \beta_1 &= \operatorname{ch} \Xi_N (\tilde{\varphi}_0 \operatorname{ch} \beta_S - \tilde{y}_0 \operatorname{sh} \beta_R) \\ &- \operatorname{sh} \Xi_N (\tilde{\varphi}_0 \operatorname{sh} \beta_S - \tilde{y}_0 \operatorname{ch} \beta_R), \end{aligned}$$

где $\beta_S = (\beta_N + \beta_1) / 2$, $\beta_R = (\beta_N - \beta_1) / 2$.

Находя отсюда $\operatorname{ch} \Xi_N$ и $\operatorname{sh} \Xi_N$, можно исключить накапливаемую фазу Ξ_N с помощью формулы $\operatorname{ch}^2 \Xi_N - \operatorname{sh}^2 \Xi_N = 1$ и получить соотношение, связывающее конечные параметры лучевой траектории с начальными:

$$\frac{\tilde{\varphi}_N^2 - \tilde{y}_N^2 + 2\tilde{y}_N \tilde{\varphi}_N \operatorname{sh} \beta_N}{\operatorname{ch}^2 \beta_N} = \frac{\tilde{\varphi}_0^2 - \tilde{y}_0^2 + 2\tilde{y}_0 \tilde{\varphi}_0 \operatorname{sh} \beta_1}{\operatorname{ch}^2 \beta_1} = \operatorname{const}. \quad (66)$$

2. $B_n C_n < 0$, $R_n^2 > 4|B_n C_n|$: $L_n = \xi \operatorname{ch} \beta_n$, $\delta \vartheta_n = \Delta \beta_n / 2$, $\delta \Xi_N = (\beta_N - \beta_1) / 2$. С учетом (57)–(59) соотношения (62), (63) принимают вид

$$\tilde{y}_N = \tilde{y}_0 \operatorname{ch} \left(\Xi_N + \frac{\beta_N - \beta_1}{2} \right) + \left(\frac{\operatorname{ch} \beta_1 \tilde{y}_0 + b \xi \tilde{\varphi}_0}{\operatorname{sh} \beta_1} \right) \times \operatorname{sh} \left(\Xi_N + \frac{\beta_N - \beta_1}{2} \right), \quad (67)$$

$$\tilde{\varphi}_N = \tilde{\varphi}_0 \operatorname{ch} \left(\Xi_N - \frac{\beta_N - \beta_1}{2} \right) - \left(\frac{\operatorname{ch} \beta_1 \tilde{\varphi}_0 + b \xi \tilde{y}_0}{\operatorname{sh} \beta_1} \right) \times \operatorname{sh} \left(\Xi_N - \frac{\beta_N - \beta_1}{2} \right). \quad (68)$$

Значение $\beta_1 = 0$ здесь исключается, поскольку в данном случае, согласно (57)–(59), $\beta_1 = 0$ соответствует $L_1^2 = 1$, $\vartheta_1 = 0$. Для преобразований (67), (68) также существует свой инвариант, который выводится аналогично (66):

$$\begin{aligned} \frac{\tilde{\varphi}_N^2 + \tilde{y}_N^2 + 2b \xi \tilde{y}_N \tilde{\varphi}_N \operatorname{ch} \beta_N}{\operatorname{sh}^2 \beta_N} \\ = \frac{\tilde{\varphi}_0^2 + \tilde{y}_0^2 + 2b \xi \tilde{y}_0 \tilde{\varphi}_0 \operatorname{ch} \beta_1}{\operatorname{sh}^2 \beta_1} = \operatorname{const}. \quad (69) \end{aligned}$$

3. $B_n C_n < 0$, $R_n^2 < 4|B_n C_n|$; фаза ϑ_n мнимая, согласно (57); $\vartheta_n = i \Omega_n$, где Ω_n — действительная фаза прохода, $\operatorname{sh}(\vartheta_n) = i \sin \Omega_n$, $\Xi_N = i \Phi_N$; $\delta \vartheta_n = -i \Delta \beta_n / 2$, $\delta \Xi_N = -i(\beta_N - \beta_1) / 2$. Соотношения (62), (63) принимают вид

$$\tilde{y}_N = \tilde{y}_0 \cos \left(\Phi_N - \frac{\beta_N - \beta_1}{2} \right) + \left(\frac{\sin \beta_1 \tilde{y}_0 + \tilde{\varphi}_0}{\cos \beta_1} \right) \times \sin \left(\Phi_N - \frac{\beta_N - \beta_1}{2} \right), \quad (70)$$

$$\tilde{\varphi}_N = \tilde{\varphi}_0 \cos \left(\Phi_N + \frac{\beta_N - \beta_1}{2} \right) - \left(\frac{\sin \beta_1 \tilde{\varphi}_0 + \tilde{y}_0}{\cos \beta_1} \right) \times \sin \left(\Phi_N + \frac{\beta_N - \beta_1}{2} \right). \quad (71)$$

Эту систему легко преобразовать к виду:

$$\begin{aligned} \tilde{y}_N \cos \beta_1 &= \cos \Phi_N (\tilde{y}_0 \cos \beta_S - \tilde{\varphi}_0 \sin \beta_R) \\ &+ \sin \Phi_N (\tilde{y}_0 \sin \beta_S + \tilde{\varphi}_0 \cos \beta_R), \\ \tilde{\varphi}_N \cos \beta_1 &= \cos \Phi_N (\tilde{\varphi}_0 \cos \beta_S - \tilde{y}_0 \sin \beta_R) \\ &- \sin \Phi_N (\tilde{\varphi}_0 \sin \beta_S + \tilde{y}_0 \cos \beta_R). \end{aligned}$$

Находя отсюда $\cos \Phi_N$ и $\sin \Phi_N$ и складывая их квадраты, можно исключить накапливаемую фазу Φ_N и получить инвариант, связывающий конечные параметры лучевой траектории с начальными:

$$\begin{aligned} \frac{\tilde{\varphi}_N^2 + \tilde{y}_N^2 + 2\tilde{y}_N \tilde{\varphi}_N \sin \beta_N}{\cos^2 \beta_N} \\ = \frac{\tilde{\varphi}_0^2 + \tilde{y}_0^2 + 2\tilde{y}_0 \tilde{\varphi}_0 \sin \beta_1}{\cos^2 \beta_1} = Q^2. \quad (72) \end{aligned}$$

Формулы (70), (71) аналогичны (64), (65) с заменой гиперболических функций тригонометрическими. Однако соотношениям (70), (71) можно придать вид, аналогичный (67), (68), если положить $L_n = \xi \cos \beta_n$, $\operatorname{sgn} \beta_n = b \xi$ вместо (59). Стоит отметить, что фактор $(B_n / \sin \Omega_n)^{1/2}$ пропорционален радиусу гауссовского пучка, самовоспроизводящегося после прохождения периода с лучевой матрицей \mathbf{m}_n ; фактор $(C_n / \sin \Omega_n)^{1/2}$ пропорционален углу расходимости такого пучка в дальней зоне [1].

Если опорные плоскости волновода выбраны так, что $A_n = D_n$, $R_n = 0$, $\beta_n = 0$, то выражения (70), (71) с учетом (57) принимают простой вид

$$\tilde{y}_N = \tilde{y}_0 \cos \Phi_N + \tilde{\varphi}_0 \sin \Phi_N, \quad (73)$$

$$\tilde{\varphi}_N = \tilde{\varphi}_0 \cos \Phi_N - \tilde{y}_0 \sin \Phi_N, \quad (74)$$

$$\tilde{y}_n = y_n \sqrt{\left| \frac{\operatorname{sh} \vartheta_n}{B_n} \right|} = y_n \sqrt{\omega_n},$$

$$\tilde{\varphi}_n = \varphi_n \sqrt{\left| \frac{\operatorname{sh} \vartheta_n}{C_n} \right|} = \frac{\varphi_n}{\sqrt{\omega_n}}, \quad \omega_n = \sqrt{\left| \frac{C_n}{B_n} \right|}, \quad (75)$$

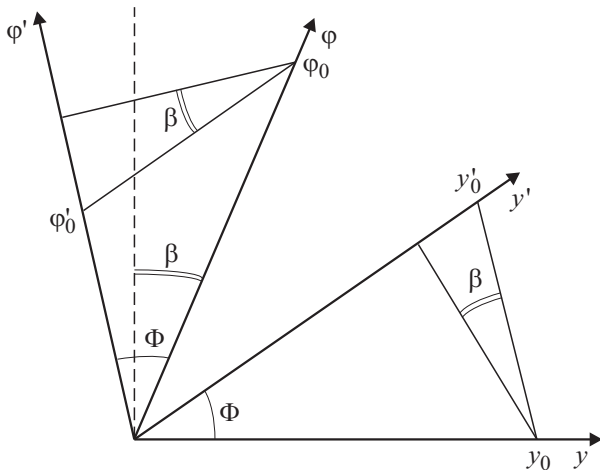


Рис. 3. Преобразование косоугольных координат при повороте системы координат на угол Φ .

а инвариант (72) приобретает вид, аналогичный (11):

$$(\sqrt{\omega_n}y_n)^2 + (\varphi_n/\sqrt{\omega_n})^2 = \text{const} = (\sqrt{\omega_0}y_0)^2 + (\varphi_0/\sqrt{\omega_0})^2. \quad (76)$$

Таким образом, лучевая матрица (10), выведенная ранее эвристически, получила строгое обоснование. Однако исходные приближения (3) следует уточнить: изменение частоты прохода должно быть малым ($\Delta\omega_n \ll \omega_n$) не за проход, а на периоде осцилляции, который задается условием $\Delta\Phi = \pi$.

Выражения (64), (65) при $A_n = D_n$ переходят в гиперболические формулы, аналогичные (73)–(75). Выражения (67), (68) к случаю $R_n = 0$ неприменимы.

Интерпретация основного решения

Вернемся к важнейшему случаю „устойчивой“ траектории (70), (71). Если по ходу луча $\omega = \text{const}$, $\beta = \text{const}$ ($\Delta_N\beta = 0$), то лучевая матрица, выражающая вектор $(\tilde{y}_N, \tilde{\varphi}_N)$ через начальный вектор $(\tilde{y}_0, \tilde{\varphi}_0)$, имеет вид

$$\mathbf{M}_N = \begin{pmatrix} \cos \Phi_N + \frac{\sin \beta}{\cos \beta} \sin \Phi_N & \frac{\sin \Phi_N}{\cos \beta} \\ -\frac{\sin \Phi_N}{\cos \beta} & \cos \Phi_N - \frac{\sin \beta}{\cos \beta} \sin \Phi_N \end{pmatrix}. \quad (77)$$

Эта матрица с учетом (57)–(59) соответствует матрице (23) для случая $\theta = i\Omega$, но фактически матрица (77) применима в более широком смысле. Если матрица (23) по своему построению имеет групповой характер по числу проходов n (фазы проходов θ_n одинаковы), то матрица (77) образует группу по фазе Φ_n : для любых фаз Φ_i и Φ_j произведение двух матриц (77) будет иметь такой же вид (77) для фазы $\Phi_i + \Phi_j$.

Геометрический смысл матрицы (77) состоит в том, что она производит поворот вектора $(\tilde{y}, \tilde{\varphi})$ на угол Φ (по часовой стрелке) в косоугольной системе координат, в которой угол между осями равен $\pi/2 - \beta$; при $\beta = 0$ это будет поворот вектора $(\tilde{y}, \tilde{\varphi})$ в прямоугольной

системе координат, см. (5). Действительно, при повороте системы координат (y, φ) против часовой стрелки на угол Φ (рис. 3) косоугольная проекция отрезка y_0 на ось y' составит $y'_0 = y_0(\cos \Phi + \sin \Phi \operatorname{tg} \beta)$, а проекция отрезка y_0 на ось φ' будет $y'_{0\varphi} = -y_0 \sin \Phi / \cos \beta$. Косоугольные же проекции отрезка φ_0 на оси y' и φ' составят $\varphi'_{0y} = \varphi_0 \sin \Phi / \cos \beta$ и $\varphi'_0 = \varphi_0(\cos \Phi - \sin \Phi \operatorname{tg} \beta)$ соответственно; коэффициенты этих преобразований и составляют матрицу (77).

Если же „распрямить“ координаты и ввести новые переменные:

$$\hat{y} = \tilde{y} + \tilde{\varphi} \sin \beta, \quad \hat{\varphi} = \tilde{\varphi} \cos \beta$$

или

$$\tilde{y} = \hat{y} \cos \beta, \quad \tilde{\varphi} = \hat{\varphi} + \tilde{y} \sin \beta,$$

то они будут преобразовываться обычной матрицей поворота

$$\begin{pmatrix} \hat{y}_N \\ \hat{\varphi}_N \end{pmatrix} = \begin{pmatrix} \cos \Phi_N & \sin \Phi_N \\ -\sin \Phi_N & \cos \Phi_N \end{pmatrix} \begin{pmatrix} \hat{y}_0 \\ \hat{\varphi}_0 \end{pmatrix}. \quad (78)$$

В обоих случаях инвариантом преобразований (78) будет величина

$$\begin{aligned} Q_0^2 &= \hat{y}_N^2 + \hat{\varphi}_N^2 = \tilde{y}_N^2 + \tilde{\varphi}_N^2 + 2\tilde{y}_N\tilde{\varphi}_N \sin \beta \\ &= \tilde{y}_0^2 + \tilde{\varphi}_0^2 + 2\tilde{y}_0\tilde{\varphi}_0 \sin \beta, \end{aligned} \quad (79)$$

равная квадрату диагонали параллелограмма, построенного на отрезках \tilde{y}_0 и $\tilde{\varphi}_0$ (рис. 3); инварианты (79) и (11) — это частные случаи величины (72).

В координатах $(\tilde{y}_N, \tilde{\varphi}_N)$ инвариант (72) описывает эллипс, оси которого не совпадают с координатными осями. Действительно, в координатах (x, y) уравнение эллипса с полуосями L_x и L_y , совпадающими с координатными осями (пусть для определенности $L_y > L_x$), имеет вид

$$\left(\frac{x}{L_x}\right)^2 + \left(\frac{y}{L_y}\right)^2 = 1.$$

При повороте координатных осей на угол Φ координаты преобразуются согласно (78); уравнение эллипса при этом приобретает вид, подобный (72):

$$\begin{aligned} x^2(L_y^2 \cos^2 \Phi + L_x^2 \sin^2 \Phi) + y^2(L_y^2 \sin^2 \Phi + L_x^2 \cos^2 \Phi) \\ + 2xy \sin \Phi \cos \Phi(L_y^2 - L_x^2) = (L_x L_y)^2. \end{aligned} \quad (80)$$

В инварианте (72) коэффициенты при квадратах переменных величин \tilde{y} и $\tilde{\varphi}$ совпадают; это позволяет определить из (80) угол поворота Φ :

$$\begin{aligned} L_y^2 \cos^2 \Phi + L_x^2 \sin^2 \Phi &= L_y^2 \sin^2 \Phi + L_x^2 \cos^2 \Phi, \\ \sin^2 \Phi &= \cos^2 \Phi = 1/2, \end{aligned}$$

отсюда $\Phi = \pm\pi/4$; знак угла Φ определяется знаком $\sin \beta_N$. Тогда из (80)

$$x^2 + y^2 + \operatorname{sgn} \beta_N 2xy \frac{L_y^2 - L_x^2}{L_y^2 + L_x^2} = 2 \frac{(L_x L_y)^2}{L_y^2 + L_x^2}.$$

Итак, в приведенных координатах $(\tilde{y}_N, \tilde{\varphi}_N)$ инвариант (72) описывает эллипс, повернутый на угол $\pm\pi/4$, полуоси эллипса ($L_y = L_{\max}$ и $L_x = L_{\min}$) определяются соотношениями

$$\frac{L_{\max}^2 - L_{\min}^2}{L_{\max}^2 + L_{\min}^2} = \sin |\beta_N|, \quad 2 \frac{(L_{\max} L_{\min})^2}{L_{\max}^2 + L_{\min}^2} = Q^2 \cos^2 \beta_N.$$

В качестве наглядного примера изложенных результатов рассмотрим классический пустой резонатор, состоящий из двух зеркал с радиусами r_1 и r_2 , разнесенных на расстояние l . Круглые зеркала можно заменить на плоские в комбинации с линзами, фокусные расстояния которых $f_1 = r_1, f_2 = r_2$. Совмещая опорные плоскости с плоскими зеркалами, оптическую схему резонатора можно уподобить рис. 1 (без ячейки C). Полупроход луча включает в себя преломление на линзе 1, проход через промежуток l и преломление на линзе 2. Лучевая матрица полупрохода имеет вид

$$\begin{aligned} \mathbf{w} &= \begin{pmatrix} 1 & 0 \\ -\frac{1}{r_2} & 1 \end{pmatrix} \begin{pmatrix} 1 & l \\ 0 & 1 \end{pmatrix} \begin{pmatrix} 1 & 0 \\ -\frac{1}{r_1} & 1 \end{pmatrix} \\ &= \begin{pmatrix} 1 & l \\ -\frac{1}{r_1} - \frac{1}{r_2} + \frac{l}{r_1 r_2} & 1 - \frac{l}{r_2} \end{pmatrix}. \end{aligned}$$

Матрица обратного полупрохода \mathbf{w}_R имеет такой же вид, но с заменой $r_1 \leftrightarrow r_2$. Перемножая $\mathbf{w}_R \mathbf{w}$ или просто используя (4), получаем элементы матрицы \mathbf{m} полного прохода луча через резонатор

$$\begin{aligned} A = D &= \left(1 - \frac{l}{r_1}\right) \left(1 - \frac{l}{r_2}\right) - \frac{l}{r_1} - \frac{l}{r_2} + \frac{l^2}{r_1 r_2} \\ &= 2g_1 g_2 - 1, \end{aligned}$$

$$B = 2l \left(1 - \frac{l}{r_2}\right) = 2lg_2,$$

$$C = 2 \left(1 - \frac{l}{r_1}\right) \left(-\frac{1}{r_1} - \frac{1}{r_2} + \frac{l}{r_1 r_2}\right) = 2 \frac{g_1}{l} (g_1 g_2 - 1),$$

$$\omega = \sqrt{\left|\frac{C}{B}\right|}, \quad \frac{C}{B} = -\frac{g_1}{g_2} \frac{1 - g_1 g_2}{l^2}, \quad (81)$$

где $g_1 = 1 - l/r_1$ и $g_2 = 1 - l/r_2$ — приведенные параметры резонатора. При таком выборе опорных плоскостей (когда обратный проход резонатора симметричен прямому проходу) $A = D$ и $\beta = 0$. Условие устойчивости резонатора $|A + D| < 2$ означает [2,7], что

$$-2 < 4g_1 g_2 - 2 < 2 \quad \text{или} \quad 0 < g_1 g_2 < 1, \quad (82)$$

при этом $C/B < 0$. Предположим, что условие устойчивости выполняется, но резонатор плавно меняется так, что $r_1 \rightarrow l, g_1 \rightarrow 0$, причем это изменение за один проход невелико. В этом случае ход лучей для большого числа проходов дается выражениями (73)–(75); более наглядное представление дает инвариант (76). Если

$g_1 \rightarrow 0$, то $\omega \rightarrow 0$; при этом $y_n \rightarrow \infty, \varphi_n \rightarrow 0$. Хотя резонатор все еще остается в области устойчивости, однако световые лучи (в опорной плоскости 1) уже выходят за пределы резонатора. И наоборот: если $g_2 \rightarrow 0$, то $\omega \rightarrow \infty$; при этом $y_n \rightarrow 0, \varphi_n \rightarrow \infty$.

Условие устойчивости (82) глобально и не зависит от выбора опорных плоскостей; в периодическом волноводе след матрицы $A + D$ инвариантен относительно сдвига опорных плоскостей (поскольку для любых двух матриц сумма диагональных элементов матрицы-произведения не зависит от порядка сомножителей). Частота прохода ω , напротив, привязана к опорной плоскости, от которой строится ход лучей; если в рассмотренном выше случае проход отсчитывать от опорной плоскости 2, то $g_1 \leftrightarrow g_2$. Все полученные здесь формулы для многократных проходов относятся к заданной опорной плоскости; чтобы получить координату и угол наклона луча в любой другой плоскости, нужно домножить вектор (y_N, φ_N) на лучевую матрицу прохода от опорной плоскости до нужной.

Заключение

Получены формулы хода лучей и построены лучевые инварианты для многократных проходов волновода (резонатора) с плавным изменением свойств. Дополнительного рассмотрения требует ход лучей при переходе волноводом границы устойчивости; следует также учесть влияние на ход лучей неоднородностей коэффициента усиления.

Список литературы

- [1] Джеррард А., Бёрч Дж.М. Введение в матричную оптику. М.: Мир, 1978. 343 с.
- [2] Яриш А. Квантовая электроника. М.: Советское радио, 1980. 488 с.
- [3] Боровков В.В., Лажинцев Б.В., Мельников С.П., Мочкаев И.Н., Нор-Аревян В.А., Синянский А.А., Федоров Г.И. // Изв. АН СССР. Сер. физ. 1990. Т. 54. Вып. 10. С. 2009–2015.
- [4] Матьев В.Ю., Боровков В.В., Мельников С.П. // ЖТФ. 2001. Т. 71. Вып. 1. С. 79–85.
- [5] Боровков В.В., Лажинцев Б.В., Нор-Аревян В.А., Сизов А.Н., Синянский А.А., Федоров Г.И. // Квант. электрон. 1995. Т. 22. Вып. 12. С. 1187–1191.
- [6] Матьев В.Ю. // Квант. электрон. 2003. Т. 33. Вып. 6. С. 493–497.
- [7] Маркузе Д. Оптические волноводы. М.: Мир, 1974. 576 с.